

PAPER DETAILS

TITLE: 2-HIDROKSI-6-[(4-HIDROKSIFENILAMINO)METİLEN]SİKLOHEKZA-2,4-DİYENON'UN
KUANTUM KİMYASAL HESAPLAMALARI ÜZERİNE BİR ÇALIŞMA

AUTHORS: Özkan Kalfa,Fatih Tekin,Basak Kosar,Cem Cüneyt Ersanlı

PAGES: 127-138

ORIGINAL PDF URL: <https://dergipark.org.tr/tr/download/article-file/441098>

Dumlupınar Üniversitesi

Özel Sayı



2-HİDROKSİ-6-[(4-HİDROKSİFENİL)DİYENON]'UN KUANTUM KİMYASAL ÇALIŞIMI

Özkan Kalfa^{1,*}, Fatih Tekin, Başak

¹Sinop Üniversitesi, Fen Bilimleri Enstitüsü, D...
o.kalfa@sinop.edu.tr,

²Sinop Üniversitesi, Eğitim Fakültesi, Fe...

³Sinop Üniversitesi, Fen-Edebiyat...

ÖZET

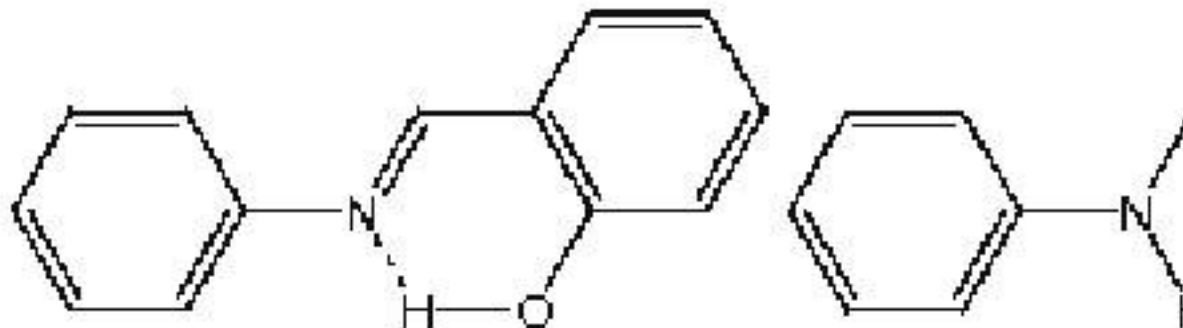
Bu çalışmada, bir Schiff bazı bileşiği olan 2-Hidroksiyenon (I)' un kuantum kimyasal hesaplamalar ile keto tautomerik formunun deneysel (X-ışınları) geometri açıları ve torsiyon açıları teorik geometrik parametreleri hem de keto tautomerik formdaki yapıları için çözümlenmiş polarizasyon, ikinci dereceden polarizasyon) ve elektrostatik sıcaklık aralığında termodinamik özellikleri incelenmiştir. Enol ve keto formların elektronik yapıları hesaplanmıştır. Anlaşılması için hesaplamalar gaz fazında ve kloroform ortamında kimyasal hesaplamalar B3LYP hibrit fonksiyoneli teori fonksiyoneli teorisi (YFT) ile hesaplanmış ve yorumlanmıştır.

1. GİRİŞ

Schiff bazları, bir primer amin ve aldehitin reaksiyonu sonucu oluşan bazı sınıfı ise o-hidroksi türevleridir. Schiff bazları fizikçi ve kimyacıların dikkatini çekmektedir.^[2]

Fotokromizm gösteren moleküllerin düzlemsel olduğu olduğu öne sürülmüştür.^[3,4] Schiff bazları biyolojik etki, antitümör, antimantar gibi eczacılıkta önemli işlevleri kullanılmaktadır. Ayrıca yaygın olarak koordinasyon kimyası, nanoteknolojide^[9] yeni organik materyaller olarak kullanılmaları özellikleri switchler ve veri saklama aygıtları gibi taşımaktadır.^[10,11]

o-Hidroksi Schiff bazları katı halde enol-imine^[12,13] tautomer olabilir. Keto-amin tautomerler zwitteriyonik^[16,17] zwitteriyonik moleküller birbirlerinden N⁺-H bağları gösterir. o-Hidroksi Schiff bazlarının güçlü molekül içi etkileşim de görülebileceği gibi (a) O-H...N enol-imine ve (b) O⁻ di-polar formlar şeklindedir.



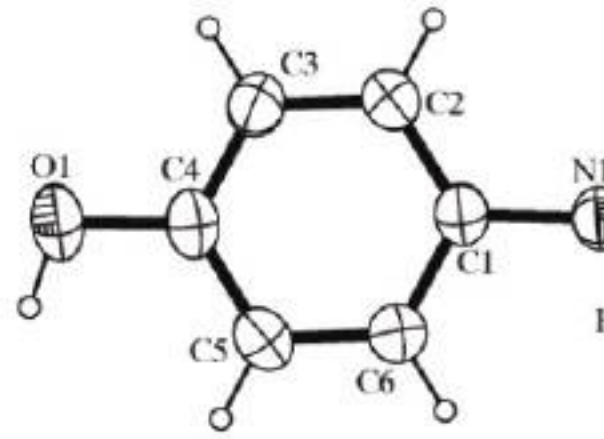
Gaussian03W yazılım paketi^[26] ve Gaussview görme programı kullanılarak 2-Hidroksi-6-[(4-hidroksifenilamino)metilen]sikloheksanone molekülünün doğrusal olmayan (NLO) optik faaliyeti için toplam statik ikinci dereceden kutuplanabilirlik değeri hesaplanmıştır. Doğal bağ orbitali (NBO) analizleri Gaussian03W paketinin NBO 3.1 programı^[28] kullanılarak yapılmıştır. Enerji fonksiyonları yani entropi, entalpi ve ısı kapasitesi hesaplanmıştır.

3. SONUÇLAR VE TARTIŞMALAR

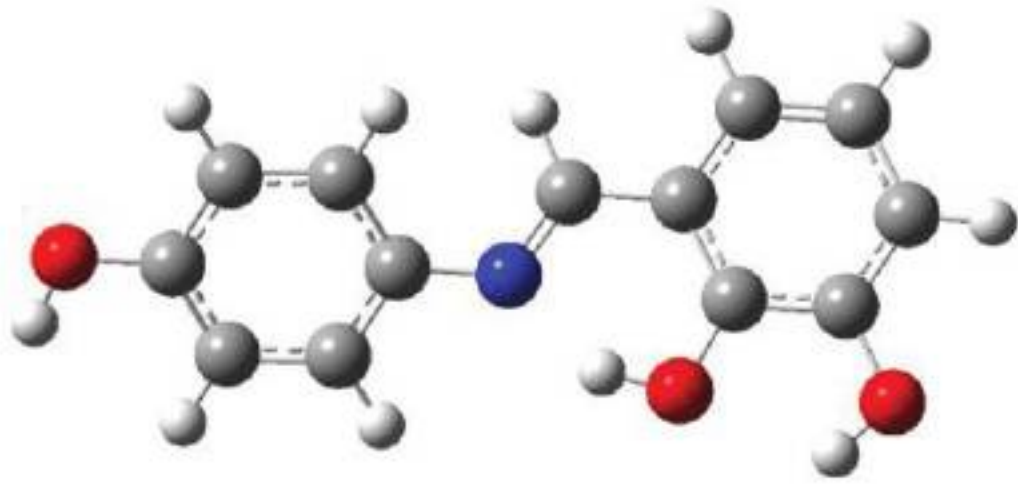
3.1. 2-Hidroksi-6-[(4-hidroksifenilamino)metilen]sikloheksanone Formları

2-Hidroksi-6-[(4-hidroksifenilamino)metilen]sikloheksanone kristal yapısı parametreleri $a=12.6440(8)\text{Å}$ $b=8.3499(3)\text{Å}$ olarak belirlenmiştir. Kristallenmiş ve enol-imine tautomerik formu yerine keto-amine formu tercih edilmiştir.

Enol-imine ve keto-amine tautomerleri ve keto-amine formunun seçilen optimize edilmiş geometrik bağ uzunlukları, bağ açılarını deneysel değerleri ile tablo 1'de listelenmiştir. Ayrıca, rağmen, tablo 1'de görüldüğü gibi bağ uzunluğu, hesaplamalarından gelen sonuçlar arasında, özellikle gözlenmiştir. X-ışını deneysel geometrisinden keto-amine formu Teorik keto-amine tautomerin optimize geometrisi düzeltilen moleküler yapı, teorik enol-imine karşılığı ve başlıca özellikleri gösterilmiştir. Bu farklılıklar, deneysel ve hesaplamalarla

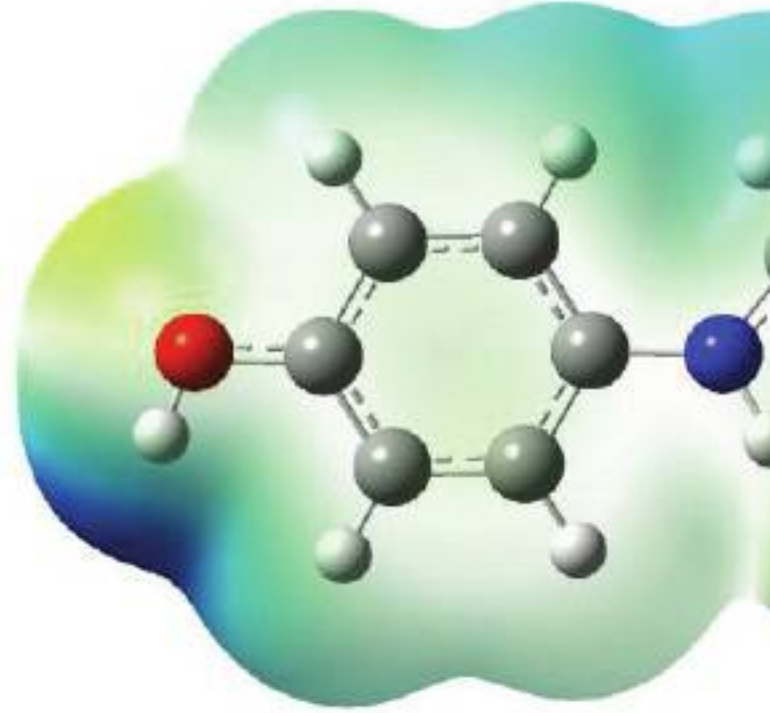


(a)



(b)

Şekil 2. (a) Atom numaraları. ^[20] (b) Enol-i



Şekil 3. Keto form

3.2 İkinci Dereceden Doğrusal Olmayan Optik Öze

Bir molekülün doğrusal olmayan optik özelliklerinin teknolojisi, sinyal işleme ve optik bağlantı materya Özellikle organik moleküller hızlı NLO yanıt süre sabitleri ve büyük NLO duyarlılığı doğuran aksep

polarlanabilirlik $\bar{\alpha}$ ve ikinci dereceden kutuplanabilen geçen bileşiğin yüksek ikinci dereceden kutuplanabilen malzemelerin geliştirilmesinde faydalanılabilir.

Tablo 3. Başlıkta sunulan bileşik için hesaplanan Dipol moment ve kutuplanabilirlik değerleri. B3LYP/6-31G(d,p).

Bileşenler	Keto Form
μ_i (D)	
μ_x	-1.9784436
μ_y	0.4196784
μ_z	-0.1896333
μ_{tot}	5.162531705
α_{ij} ($^{\circ}A^3$)	
α_{xx}	335.3735323
α_{yy}	164.0653392
α_{zz}	54.5886424
α	24.8404648
$\beta_{ijk} \times 10^{-30}(\text{cm}^5\text{e.s.u.}^{-1})$	
β_{xxx}	2197.619182
β_{xxy}	413.9674049
β_{xyy}	-98.3023811
β_{yyy}	143.5513032
β_{xxz}	-26.989093
β_{yyz}	-17.9424171
β_{xzz}	-3.2325228

efektif alıcılar arasında gerçekleşir. Stabilizasyon enerjisi aşağıdaki formül ile tahmin edilir.^[34,35]

$$E^{(2)} = q_i$$

q_i verici orbitalin doluluğu, ϵ_j , ϵ_i diyagonal elemanlar, H_{ij} matris elemanıdır. Başlıktaki bileşiğin molekül içeriği her iki tautomerinin B3LYP/6-31G(d,p) seviyesinde ikinci dereceden perbürtasyon analizleri tablo 4'te sergilenmiştir. Perbürtasyon analizi Fock matrisi için çok güçlü etkileşimlerden genellikle sistemin kararlılığını sağlayan halkalardaki π (C-C) ve π^* (C-C) orbitalleri arasındaki

Tablo 4. Seçilen ikinci dereceden perbürtasyon enerjileri

Donör (i)	Akseptör (j)	$E^{(2)a}$ (kJ/mol)
Keto Form		
BD (2) C1-N1	BD*(2) C7-C8	35.84
BD (2) C2-C3	BD*(2) C1-N1	29.30
BD (2) C7-C9	BD*(2) C1-N1	27.11
BD (2) C7-C8	BD*(2) C9-C10	20.39
BD (2) C7-C8	BD*(2) C13-O2	32.49
BD (2) C9-C10	BD*(2) C7-C8	14.66
BD (2) C9-C10	BD*(2) C11-C12	15.02

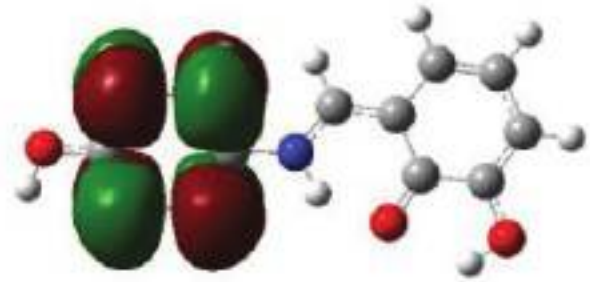
BD (2) C8-C9	BD*(2) C10-C11	19.23
BD (2) C10-C11	LP (1) C12	57.32
BD (2) C10-C11	BD*(2) C8-C9	21.87
LP (2) O1	BD*(2) C4-C5	29.40
LP (2) O2	LP*(1) C13	62.57
LP (2) O3	LP (1) C19	53.72
BD*(2) C4-C5	BD*(2) C2-C3	301.87
BD*(2) C7-N1	BD*(2) C1-C6	54.32
BD*(2) C7-N1	BD*(2) C8-C9	105.50

Tablo 4'te keto forma bakıldığında en yüksek enerjili orbitaline olduğu, enol formda ise C4-C5 π orbitalinde

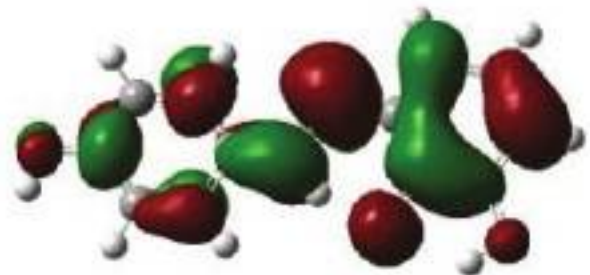
Bu etkileşim enol formda deneysel olarak gerçekte göstermektedir. Tautomerik formların NBO analizinde molekül içi yük transferi söz konusu bileşenin doğruluğunu teyit etmektedir.

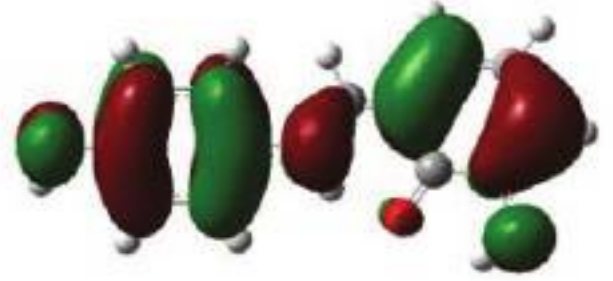
Tablo 5. Tautomerlerin dalga boyları, osilatör güçleri

	$\lambda_{\max}(\text{nm})$	
Keto Form	469.39 nm	HOMO \rightarrow LUMO
	346.06 nm	HOMO \rightarrow LUMO
Enol Form	333.95 nm	HOMO \rightarrow LUMO
	267.82 nm	HOMO \rightarrow LUMO



LUMO+1





HOMO-1

Enol form

Şekil 4. Enol ve keto formlarda

3.3 Termodinamik Özellikleri

Frekans hesaplamalarında moleküler bir sistem için b gibi termal özellikler de sıfır nokta enerjisi yardımı koşulları göz önüne alındığında sistemin termodin termodinamik özelliklerini saptamak için standart ter entropi (S^0_m) ve entalpi (H^0_m) tautomerlerin termod DFT/B3LYP yöntemi kullanılarak 6-31G(d,p) baz set

$$S_m^0(T) = 58,42057 + 0,21797T$$
$$H_m^0(T) = -2,4907 + 0,02486T +$$

Enol form

100	19.895
200	37.805
298.15	55.844
400	72.722
500	86.446
600	97.432
700	106.221
800	113.354
900	119.240
1000	124.164

$$C_{p,m}^0(T) = -2,141 + 0,22527T -$$
$$S_m^0(T) = 56,4604 + 0,22328T - 4$$
$$H_m^0(T) = -2,56819 + 0,02541T -$$

4. SONUÇLAR

Bu çalışmada X-ışınları geometrisinin HİDROKSİFENİLAMİNO)METİLEN]SİKLOHEKZ hesaplamaları gerçekleştirilmiştir. Bu çalışmanın

- [6] Hodnett EM, Dunn WJ, *J Med Chem* **13**:768, 1970.
- [7] Calligaris M, Randaccio L, in Wilkinson G. (ed.), Pergamon Press, London, 1987.
- [8] Garnovski AD, Nivorozhkin AL, Minkin VI, *Cool*
- [9] Hadjoudis E, *Mol Eng* **5**(4):301, 1995.
- [10] Alivisatos AP, Barbara PF, Castleman AW, Char JS, Ratner MA, Rossky PJ, Stupp SI, Thompson ME,
- [11] Dalton L, *Adv Polym Sci* **158**:1, 2002.
- [12] A. Özek, Albayrak Ç., Odabaşoğlu M, Büyükgü
- [13] Tanak H, Ağar A, Yavuz M, *J Mol Model* **16**(3):
- [14] Pavlovic G, Sosa JM, *Acta Cryst C* **56**:1117, 200
- [15] Karabiyik H, Ocak- İskeleli N, Petek H, Albayral
- [16] Temel E, Albayrak Ç, Büyükgüngör O, Odabaşo
- [17] Petek H, Albayrak Ç, Ocak-İskeleli N, Ağar E, Ş
- [18] Ziegler T, *Pure Appl Chem* **63**:873, 1991.
- [19] Johnson BG, Gill PMW, Pople JA, *J Chem Phys*
- [20] Gill PMW, Johnson BG, Pople JA, Frisch MJ, *Ch*
- [21] Koşar B, Albayrak Ç, Odabaşoğlu M, Büyükgün
- [22] Lee C, Yang W, Parr RG, *Phys Rev B* **37**:785, 19